

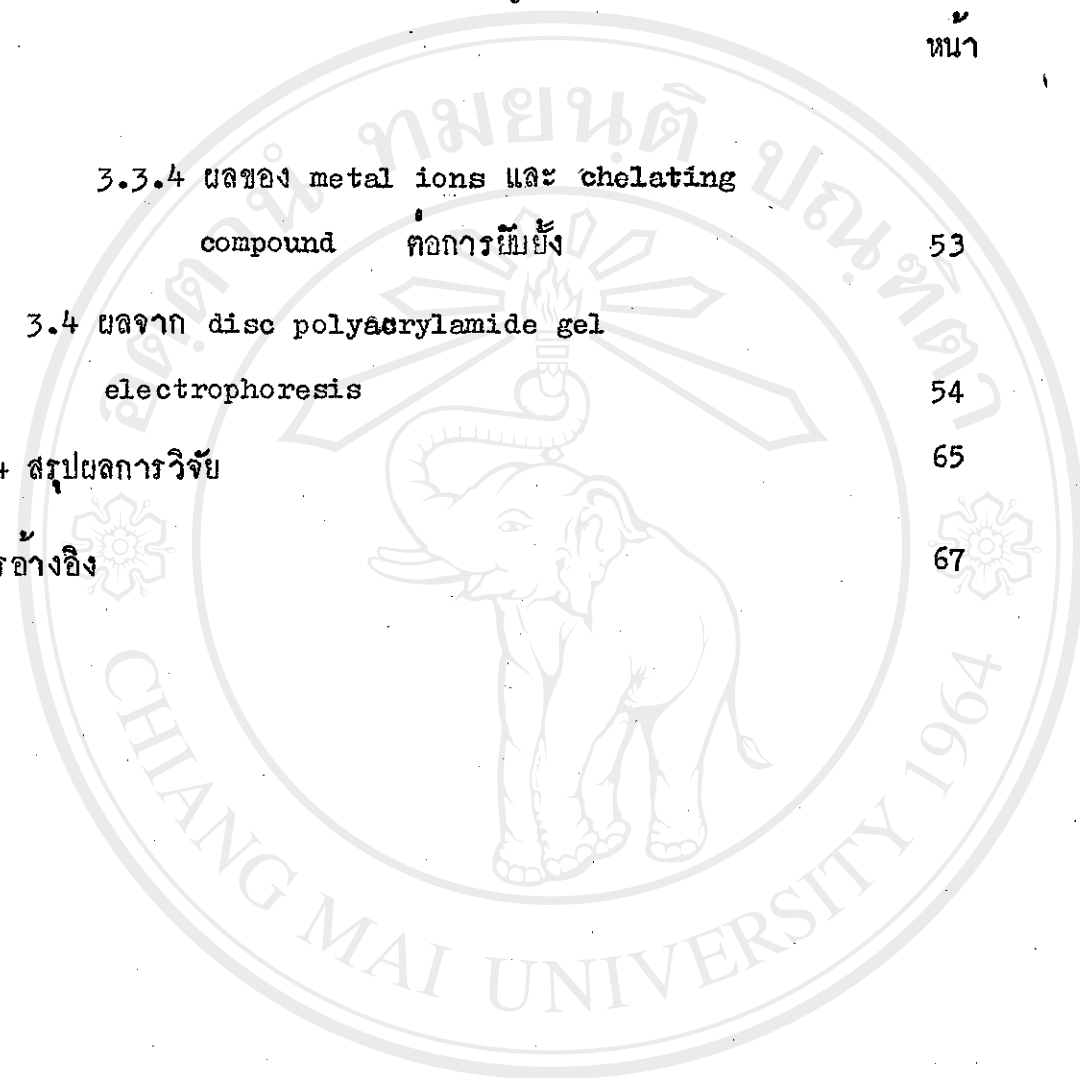
สารบัญ

| | หน้า |
|---|------|
| บทที่ 1 บทนำ | 1 |
| 1.1 เนื้อ | 2 |
| 1.2 α -Amylase | 3 |
| 1.3 ค่ายับยั้งเอ็นไซม์ | 5 |
| 1.4 เทคนิคที่ใช้ในการทดลอง | 16 |
| บทที่ 2 การทดลอง | 22 |
| 2.1 เครื่องมือ | 22 |
| 2.2 สารเคมี | 23 |
| 2.3 Sample | 25 |
| 2.4 การทดลอง | 26 |
| บทที่ 3 ผลการทดลองและวิจารณ์ | 47 |
| 3.1 การ purify α -Amylase จากน้ำลาย | 47 |
| 3.2 การสกัด α -Amylase inhibitor จากหัวเนื้อ | 48 |
| 3.3 การศึกษาคุณสมบัติต่าง ๆ ของค่ายับยั้งที่สกัดได้ | 53 |
| 3.3.1 ผลของ preincubation time | 53 |
| 3.3.2 ผลของ pH | 53 |
| 3.3.3 การทนต่อความร้อน (Temperature stability) | 53 |

สารบัญ

หน้า

| | | |
|---|-------------|----|
| 3.3.4 ผลของ metal ions และ chelating compound | คอกการมีขี้ | 53 |
| 3.4 ผลจาก disc polyacrylamide gel electrophoresis | | 54 |
| บทที่ 4 สรุปผลการวิจัย | | 65 |
| เอกสารอ้างอิง | | 67 |



ลิขสิทธิ์มหาวิทยาลัยเชียงใหม่
 Copyright© by Chiang Mai University
 All rights reserved

รายการตารางประกอบ

| | | หน้า |
|------------|--|------|
| ตารางที่ 1 | แสดงการ purify ตัวเอนไซม์ α -Amylase จากหัวเผือก | 52 |
| ตารางที่ 2 | ผลของ metal ions และ chelating compound ต่อการเอนไซม์ | 54 |

ลิขสิทธิ์มหาวิทยาลัยเชียงใหม่
 Copyright© by Chiang Mai University
 All rights reserved

รายการแสดงภาพประกอบ

| | หน้า |
|--|------|
| รูปที่ 1.1 แสดง hydrolysis ของแป้งโดย α -Amylase | 4 |
| รูปที่ 1.2 แสดง DIPF ทำปฏิกิริยากับ -OH ของ serine ของเอ็นไซม์ | 6 |
| รูปที่ 1.3 แสดง iodoacetate ทำปฏิกิริยากับ -SH ของ cysteine ของเอ็นไซม์ | 6 |
| รูปที่ 1.4 แสดงตัวยับยั้งแบบแข่งขันของสารต่าง ๆ | 8 |
| รูปที่ 1.5 แสดง Lineweaver-Burk plot ของปฏิกิริยา โดยเอ็นไซม์เมื่อมีและไม่มีตัวยับยั้ง | 10 |
| รูปที่ 1.6 แสดงการเกิดปฏิกิริยาระหว่างโลหะหนัก (Hg^{2+} , Pb^{2+}) กับ chelating agent | 12 |
| รูปที่ 1.7 แสดง plots ของ $1/V$ และ % inhibition กับความเข้มข้นของ inhibitor | 14 |
| รูปที่ 1.8 แสดง plot ของ % inhibition กับความเข้มข้นของเอ็นไซม์ | 15 |
| รูปที่ 1.9 แสดงการสังเคราะห์ sephadex ตามปฏิกิริยาของ dextran กับ epichlorohydrin | 17 |
| รูปที่ 1.10 แสดงสูตรโครงสร้างของ dextran เกิด cross-link กับ epichlorohydrin | 18 |

รายการแสดงภาพประกอบ

| | หน้า |
|---|------|
| รูปที่ 1.11 แสดงลักษณะของ ion exchanger | 20 |
| รูปที่ 1.12 แสดงสูตรของ Cellulose ion exchanger บางตัว | 21 |
| รูปที่ 2.1 แสดง Electrophoresis apparatus | 42 |
| รูปที่ 3.1 แสดง Standard curve ของสารละลายแป้ง ที่ความเข้มข้นต่าง ๆ | 55 |
| รูปที่ 3.2 แสดงการ purify α -Amylase จากน้ำลาย ควาย sephadex G-50 | 56 |
| รูปที่ 3.3 แสดง Standard curve ของสารละลาย BSA | 57 |
| รูปที่ 3.4 แสดงการ purify α -Amylase inhibitor จากหัวเผือกโดยใช้ DEAE-Cellulose | 58 |
| รูปที่ 3.5 แสดงการ purify α -Amylase inhibitor จากหัวเผือก (ไม่ heat) โดยใช้ DEAE-Cellulose | 59 |
| รูปที่ 3.6 แสดง purify ของ α -Amylase inhibitor โดยใช้ sephadex G-100 | 60 |
| รูปที่ 3.7 U.V-Spectrum ของ active fraction (No.15-21) จาก sephadex G-100 column chromatography ของหัวเผือก | 61 |

รายการแสดงภาพประกอบ

หน้า

| | | |
|-------------|---|----|
| รูปที่ 3.8 | แสดงผลของอุณหภูมิและเวลาของการ incubate ต่อการทำงานของ α -Amylase inhibitor | 62 |
| รูปที่ 3.9 | แสดงผลของ pH ต่อการทำงานของ α -Amylase inhibitor | 63 |
| รูปที่ 3.10 | แสดงผลของ heat treatment ต่อการทำงานของ α -Amylase inhibitor | 64 |

อักษรย่อ

อักษรย่อที่ใช้ในเล่มนี้มีดังนี้

| | | |
|------|---|----------------|
| ช. | = | องค์าเซนติเกรด |
| มก. | = | มิลลิกรัม |
| มด. | = | มิลลิลิตร |
| nm | = | nanometer |
| ppt. | = | precipitate |
| ml | = | milliliter |
| gm | = | gram |

ลิขสิทธิ์มหาวิทยาลัยเชียงใหม่

Copyright© by Chiang Mai University

All rights reserved